

Control Moment Gyroscope のゲインスケジューリング制御

2013SE048 稲垣 伸

指導教員：高見 勲

1 はじめに

本研究で使用する Control Moment Gyroscope (以下 CMG) は強い非線形性をもつ. 先行研究では, H_2 制御手法を用い成果が報告されている [1]. また, gridding approach を用いてゲインスケジューリング (以下 GS) 制御を行い成果が報告されている [2]. GS を適用することにより, システムの変動に応じ, コントローラを適応させる制御を行なうことができる. しかし, gridding approach では, 変動空間を細分化して, その格子点だけで安定性を求めている. そこで本研究では, テイラー展開を用いて平衡点の周りで近似し, ディスクリプタ表現, ポリトープ表現, 線形分数変換 (LFT), パラメータ依存リアプノフ関数に基づき, GS 制御系を設計する.

2 モデリング

図 1 に, CMG の概略図を示す.

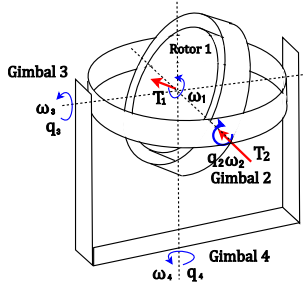


図 1 CMG の概略図

CMG には, Rotor1 を回転させる Motor1 のトルク $T_1(t)$ と Gimbal2 を傾ける Motor2 のトルク $T_2(t)$ が存在する. Rotor1 の角速度を $\omega_1(t)$, Gimbal2 の角度と角速度を q_2, ω_2 , Gimbal3 の角度と角速度を $q_3(t), \omega_3(t)$, Gimbal4 の角度と角速度を $q_4(t), \omega_4(t)$ と定義する. Rotor1, Gimbal2 によって生成されるジャイロ効果を得るため, 導出した運動方程式から, $\sin(q_2) \approx q_2, \cos(q_2) \approx 1 - q_2^2/2$ と近似し, q_2 の可動範囲を $-\pi/6 < q_2 < \pi/6$ とする. Gimbal3 をロックせず, $q_3 = 0$ まわりで微小変動するものとして仮定する. また, $\omega_2, \omega_3, \omega_4$ の値は十分小さいものと仮定し, 二乗項は無視する. 状態変数を $x(t) = [\int(q_3^{ref} - q_3)dt \int(q_4^{ref} - q_4)dt q_3 q_4 \omega_2 \omega_3 \omega_4]^T$ とおき, $q_3^{ref} = 0$ とする. $\dot{x}(t) = Ax(t) + Bu(t)$ の形にすると, 式

(1) となる.

$$\dot{x}(t) = \begin{bmatrix} 0 & 0 & -1 & 0 & 0 & 0 & 0 \\ 0 & 0 & 0 & -1 & 0 & 0 & 0 \\ 0 & 0 & 0 & 0 & 0 & 1 & 0 \\ 0 & 0 & 0 & 0 & 0 & 0 & 1 \\ 0 & 0 & 0 & 0 & 0 & 0 & 0 \\ 0 & 0 & 0 & 0 & -F^{-1}G & 0 & 0 \\ 0 & 0 & 0 & 0 & 0 & 0 & 0 \end{bmatrix} x(t) + \begin{bmatrix} 0 & 0 \\ 0 & 0 \\ 0 & 0 \\ 0 & 0 \\ 0 & 0 \\ F^{-1}H \\ 0 \end{bmatrix} u(t) \quad (1)$$

$$F = \begin{bmatrix} a_1 & 0 & 0 \\ 0 & a_2 & a_3 \\ 0 & a_3 & a_4 \end{bmatrix}, \quad G = \begin{bmatrix} 0 & b_1 & b_2 \\ -b_1 & 0 & 0 \\ -b_2 & 0 & 0 \end{bmatrix},$$

$$H = \begin{bmatrix} 0 & 1 \\ c_1 & 0 \\ c_2 & 0 \end{bmatrix}$$

$$a_1 = I_C + I_D, \quad a_2 = J_b - J_a q_2^2, \quad a_3 = J_a(q_2 - \frac{2q_2^3}{3}),$$

$$a_4 = J_c + J_d q_2^2, \quad b_1 = J_D \omega_1 q_2, \quad b_2 = -J_D \omega_1(1 - \frac{q_2^2}{2})$$

$$c_1 = -(1 - \frac{q_2^2}{2}), \quad c_2 = -q_2$$

$$J_a = J_C - K_C - K_D, \quad J_b = J_B + J_C,$$

$$J_c = K_A + K_B + K_C + I_D, \quad J_d = J_C - K_C - I_D$$

I_D, J_D, K_D : Rotor1 の慣性モーメント [$\text{kg} \cdot \text{m}^2$]
 I_C, J_C, K_C : Gimbal 2 の慣性モーメント [$\text{kg} \cdot \text{m}^2$]
 J_B, K_B : Gimbal 3 の慣性モーメント [$\text{kg} \cdot \text{m}^2$]
 K_A : Gimbal 4 の慣性モーメント [$\text{kg} \cdot \text{m}^2$]

3 制御設計

スケジューリングパラメータを制御器の姿勢によって作用が大きく変わるパラメータ ω_1, q_2 とする. ディスクリプタ変数を $x_d(t) = [x(t)^T \dot{\omega}_2(t) \dot{\omega}_3(t) \dot{\omega}_4(t) T_1(t)]^T$ として表すと, 式 (2) となる.

$$E_d \dot{x}_d(t) = A_d x_d(t) + B_d u_d(t) \quad (2)$$

$$A_d = \begin{bmatrix} O_{2 \times 2} & M & O_{2 \times 2} & O_{2 \times 1} \\ O_{3 \times 2} & O_{3 \times 1} & I_3 & O_{3 \times 1} \\ O_{3 \times 2} & -G & -F & L \\ O_{1 \times 2} & O_{1 \times 3} & O_{1 \times 3} & -1 \end{bmatrix}$$

$$M = \begin{bmatrix} -I_2 & 0 \\ 0 & 0 \end{bmatrix}, \quad L = \begin{bmatrix} 0 \\ c_1 \\ c_2 \end{bmatrix},$$

$$E_d = \begin{bmatrix} I_7 & O_{7 \times 4} \\ O_{4 \times 7} & O_{4 \times 4} \end{bmatrix}, \quad B_d = \begin{bmatrix} O_{6 \times 2} \\ 0 & 1 \\ 0 & 0 \\ 0 & 0 \\ 1 & 0 \end{bmatrix}$$

行列 A_d が二乗項を含まない形式に等価変換を行うために変動パラメータが ω_1, q_2 のスケジューリングパラメータ

を LFT で取り出す方法を適用する．新たにディスクリプタ変数 $\tilde{x}_d(t)$ を与えることで，式 (3)-(4) のようになる．

$$A_d(t) = A_n + B_\delta(I - \Delta D_\delta)^{-1} \Delta C_\delta \quad (3)$$

$$\tilde{E}_d \dot{\tilde{x}}_d(t) = \tilde{A}_d \tilde{x}_d(t) + \tilde{B}_d u(t) \quad (4)$$

$$\tilde{A}_d = \begin{bmatrix} A_n & B_\delta \Delta \\ C_\delta & D_\delta \Delta - I \end{bmatrix}$$

$$\tilde{E}_d = \begin{bmatrix} E_d & 0 \\ 0 & 0 \end{bmatrix}, \quad \tilde{B}_d = \begin{bmatrix} B_d \\ 0 \end{bmatrix}$$

$$\Delta = \text{diag}([\omega_1 \ \omega_1 \ \omega_1 \ \omega_1 \ \omega_1 \ \omega_1])$$

パラメータ依存リアプノフ関数を扱うために，変動パラメータ $\omega_1, \dot{\omega}_1, q_2, \omega_2$ の上下界を頂点とするパラメータボックス Θ を式 (5) で与え，パラメータボックスの端点から，制御器のロバスト性を保証することを考える．

$$\Theta = \{\theta = [\theta_1, \theta_2, \theta_3, \theta_4]^T : \theta_i \in \{\underline{\theta}_i, \bar{\theta}_i\} (i = 1, \dots, 4)\} \quad (5)$$

$$\theta_1 = q_2, \theta_2 = \omega_1, \theta_3 = \omega_2, \theta_4 = \dot{\omega}_1$$

4 LMI 定式化

本研究では，評価関数 J

$$J = \int_0^\infty (x(t)^T Q x(t) + u(t)^T R u(t)) dt \quad (6)$$

を最小化する最適レギュレータ理論に基づく GS 制御器を設計する．行列 E_d の構造を考慮し，リアプノフ行列 $X_d(\theta)$ と変数行列 $Y_d(\theta)$ を以下の式のように与える．

$$X_d(\theta) = X_{d0} + \theta_1 X_{d1} + \theta_2 X_{d2},$$

$$Y_d(\theta) = Y_{d0} + \theta_1 Y_{d1} + \theta_2 Y_{d2},$$

$$X(\theta) = X_0 + \theta_1 X_1 + \theta_2 X_2, \quad \tilde{E}_d \dot{\tilde{X}}_d(\theta) = \theta_3 X_1 + \theta_4 X_2$$

$$X_{di} = \begin{bmatrix} X_i & 0 & 0 \\ X_{i.21} & X_{i.22} & X_{i.23} \\ X_{i.31} & X_{i.32} & X_{i.33} \end{bmatrix}, \quad (7)$$

$$Y_{di} = [Y_i \ 0 \ 0] \quad (i = 0, 1, 2) \quad (8)$$

ただし， $\tilde{A}_d(\theta)X_d(\theta)$ によって変動パラメータの二乗項が存在するため，アフィンの形になるように制約を与えた． $C_d = [W_x \ 0 \ 0]$ ， $W_x = [Q^{\frac{1}{2}} \ 0]^T$ ， $D_d = [0 \ R^{\frac{1}{2}}]$ とおくと，スケジューリングパラメータ θ の変動範囲内において安定化する GS コントローラを求めるための LMI 条件は以下のようになる．

$$\text{minimize} : \gamma \quad (9)$$

$$\text{subject to} : X(\Theta_j) \succ 0 \quad (10)$$

$$\begin{bmatrix} \text{He}[A_d(\Theta_j)X_d(\Theta_j) + B_d Y_d(\Theta_j)] - \tilde{E}_d \dot{\tilde{X}}_d(\Theta_j) \\ C_d X_d(\Theta_j) + D_d Y_d(\Theta_j) \\ X_d(\Theta_j)^T C_d^T + Y_d(\Theta_j)^T D_d^T \\ -I \end{bmatrix} \prec 0 \quad (11)$$

$$\begin{bmatrix} W & I \\ I & X(\Theta_j) \end{bmatrix} \succ 0 \quad (12)$$

$$\text{trace}(W) < \gamma \quad (j = 1, \dots, 16) \quad (13)$$

$$\Theta_1 = (\underline{\theta}_1, \underline{\theta}_2, \underline{\theta}_3, \underline{\theta}_4), \quad \Theta_2 = (\bar{\theta}_1, \underline{\theta}_2, \underline{\theta}_3, \underline{\theta}_4)$$

$$, \dots, \Theta_{16} = (\bar{\theta}_1, \bar{\theta}_2, \bar{\theta}_3, \bar{\theta}_4)$$

式 (9)-(13) を満たす $X_d(\theta)$ ， $Y_d(\theta)$ が存在すれば，システムは安定であり，ディスクリプタ表現の枠組みにおける GS コントローラ $K_d(\theta)$ は以下の式で与えられる．

$$K_d(\theta) = [Y(\theta)X(\theta)^{-1} \ 0 \ 0] \quad (14)$$

5 実験結果

設計した制御系と固定ゲインのロバスト LQ 制御で実験を行い，GS 制御の有用性を検証する．初期値 $x_0 = [0 \ 0 \ 0 \ 0 \ 0]^T$ と変動パラメータ $q_2, \omega_2, \omega_1, \dot{\omega}_1$ の上下界の設定をし，シミュレーションと実験を行った．上界値を表 1, Gimbal4 の角度 q_4 のシミュレーションと実験結果を図 2, ゲイン K_d における変化を図 3-4 に示す．図 3-4 よ

表 1 Upper bound value

	Nominal	GS	ロバスト LQ
Upper bound	$\gamma = 58.68$	$\gamma = 72.27$	$\gamma = 80.22$

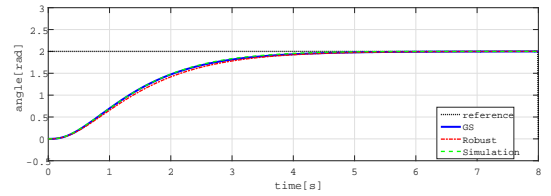


図 2 Angle of Gimbal4

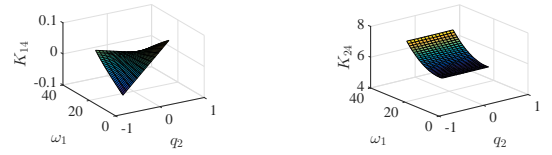


図 3 Change of K_{14}

図 4 Change of K_{24}

り，GS 制御のスケジューリングパラメータの変化が確認でき，ゲイン K_d が調整されていることがわかる．図 2 より，GS 制御の実験結果とシミュレーション結果がほぼ一致した．また，ロバスト LQ 制御に対して，GS 手法の方が追従性能の向上が見られた．

6 おわりに

実験結果から GS 制御の有用性が確かめられた．今後の課題として，Gimbal3 の角度 q_3 も制御対象にすることが挙げられる．

参考文献

- [1] Toru Inaba, Chinatsu Murai, Gan Chen and Isao Takami: Robust Control of Control Moment Gyroscope with Friction Disturbance -Using Polytopic Representation-, 2015 7th International Conference on Information Technology and Electrical Engineering, pp.559-564, 2015.
- [2] Hossam S. Abbas, Ahsan Ali, Seyed M. Hashemi and Herbert Werner: LPV Gain-Scheduled Control of a Control Moment Gyroscope, 2013 American Control Conference(ACC), pp.6857-6862, 2013.